

ES 019.

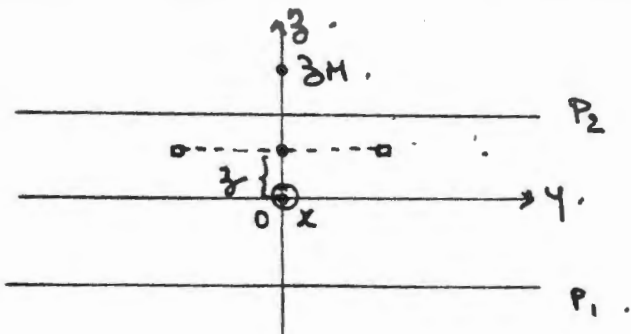
$$V = \frac{q}{4\pi\epsilon_0 r} - \frac{q}{4\pi\epsilon_0 r_1} - \frac{q}{4\pi\epsilon_0 r_2}$$

$$\frac{1}{r_1} = \frac{1}{r} \left(1 + \frac{a}{r} \cos\theta + \left(\frac{a}{r}\right)^2 \frac{3\cos^2\theta - 1}{2} + \dots \right)$$

$$\frac{1}{r_2} = \frac{1}{r} \left(1 - \frac{a}{r} \cos\theta + \left(\frac{a}{r}\right)^2 \frac{3\cos^2\theta - 1}{2} + \dots \right)$$

$$V = \frac{qa^2(1-3\cos^2\theta)}{4\pi\epsilon_0 r^3}$$

ES 014.

assum: $\rho (dr, dz)$ charge $d\vec{q} = \beta \cdot 2\pi r d\rho dz$

$$\Rightarrow d\vec{E}_K = \frac{d\vec{q}}{4\pi\epsilon_0} \frac{(3H-z)}{\left(r^2 + (3H-z)^2\right)^{3/2}} \vec{k}$$

④ Si $|z_H| < a$: les champs créés par 2 anneaux symétriques sont égaux et opposés au centre.

$$\Rightarrow \vec{E}_H =$$

$$d\vec{E}_H = \int_0^a d^2 \vec{E}_H = \frac{\beta \epsilon_0 (z_H - z)}{4\pi \epsilon_0} \int_0^a \frac{\rho d\rho}{(\rho^2 + (z_H - z)^2)^{3/2}} \vec{u}_z .$$

$$d\vec{E}_H = \frac{\beta}{2\epsilon_0} (z_H - z) \frac{1}{|z_H - z|} = \pm \frac{\beta dz}{2\epsilon_0} \quad \text{champ uniforme créé par la trajectoire } dz \text{ entière}$$

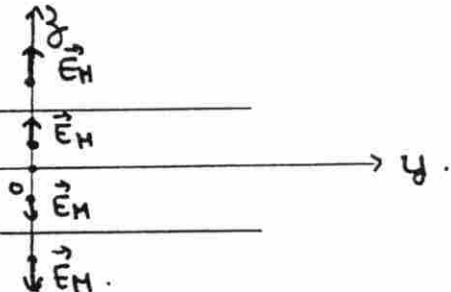
⑤ Si $|z_H| > a$: les champs créés par 2 tranches de part et d'autre de H sont opposés en direction.

$$\vec{u}_z \cdot \vec{E}_H = \int_{-a}^a + \frac{\beta dz}{2\epsilon_0} + \int_a^{|z_H|} - \frac{\beta dz}{2\epsilon_0} = \frac{\beta}{2\epsilon_0} (a + |z_H|) - \frac{\beta}{2\epsilon_0} (|z_H| - a)$$

$$\boxed{\vec{E}_H = \frac{\beta z_H}{\epsilon_0} \vec{u}_z}$$

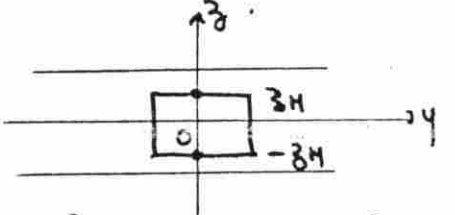
⑥ Si $|z_H| > a$: les champs ont même sens pour toutes les tranches.

$$\vec{E}_H = \int_{-a}^a \pm \frac{\beta dz}{2\epsilon_0} \vec{u}_z = \pm \frac{\beta a}{2\epsilon_0} \vec{u}_z \quad \left\{ \begin{array}{l} \text{(+)} \text{ si } z_H > a \\ \text{(-)} \text{ si } z_H < -a \end{array} \right.$$



⑦ Gauß: phys. $\Rightarrow \vec{E} \parallel \vec{u}_z$ et dépend seulement de z .

* Si $|z_H| \leq a$:



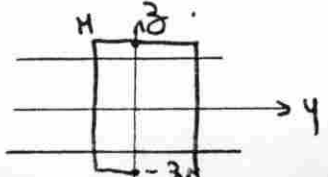
cylindre de hauteur $2|z_H|$ de rayon r que.

$$\Phi = \frac{1}{\epsilon_0} \beta \pi r^2 \times 2z_H = \pi r^2 (E(z_H) - E(-z_H)) \quad \text{si } z_H > 0 .$$

$$= 2\pi r^2 E(z_H) \quad \text{car } E(z_H) = -E(-z_H) .$$

$$\Rightarrow \boxed{E(z_H) = \frac{\beta z_H}{\epsilon_0}}$$

* Si $|z_H| \geq a$: ($z_H > 0$)



cylindre de hauteur $2z_H$ de rayon r .

$$\Phi = \frac{1}{\epsilon_0} \beta \pi \rho^2 z a = \rho^2 \pi (\epsilon(z_H) - \epsilon(-z_H)) = 2 \rho^2 \pi \epsilon(z_H)$$

$$\Rightarrow \boxed{\epsilon(z_H) = \frac{\beta a}{\epsilon_0}} \quad \text{si } z_H > a.$$

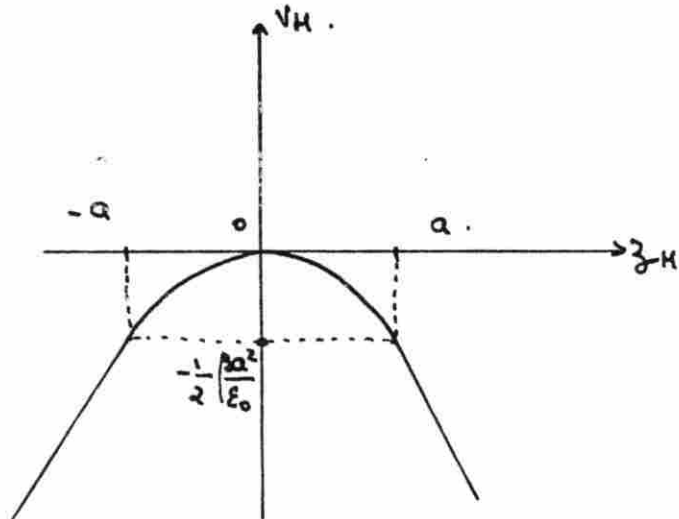
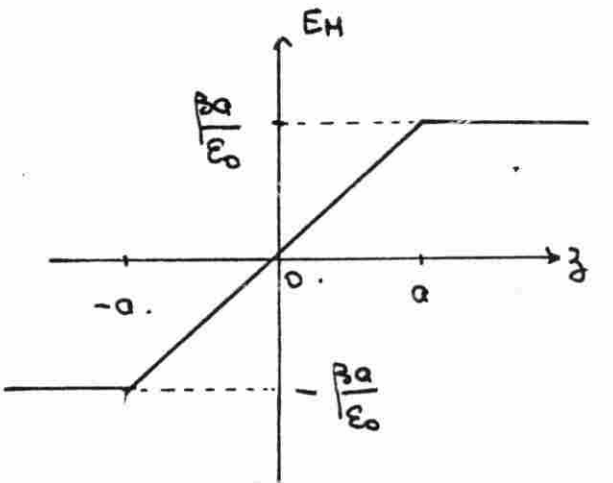
$$\Phi = \frac{+1}{\epsilon_0} \beta \pi \rho^2 z a = \rho^2 \pi (-\epsilon(z_H) + \epsilon(-z_H)) \Rightarrow \boxed{\epsilon(z_H) = -\frac{\beta a}{\epsilon_0}} \quad \text{si } z_H < -a.$$

(30) Potential

$$E_H = - \frac{dV_H}{dz}$$

- si $|z_H| \leq a$: $V_H = -\frac{1}{2} \frac{\beta z_H^2}{\epsilon_0} + C^k$ $V(0) = 0 \Rightarrow V_H = -\frac{1}{2} \frac{\beta z_H^2}{\epsilon_0}$
- si $|z_H| > a$: $V_H = \pm \frac{\beta a}{\epsilon_0} z_H + C^k$
pour $z_H \leq -a$: $V_H(-a) = -\frac{1}{2} \frac{\beta a^2}{\epsilon_0} = -\frac{\beta a^2}{\epsilon_0} + C^k \Rightarrow C^k = \frac{1}{2} \frac{\beta a^2}{\epsilon_0}$.
alors $V_H = \frac{1}{2} \frac{\beta a^2}{\epsilon_0} + \frac{\beta a}{\epsilon_0} z_H$.

$$\underline{z_H > a}: \quad V_H(a) = -\frac{1}{2} \frac{\beta a^2}{\epsilon_0} = -\frac{\beta a^2}{\epsilon_0} + C^k \Rightarrow V_H = +\frac{1}{2} \frac{\beta a^2}{\epsilon_0} + \frac{\beta a}{\epsilon_0} z_H$$



ES 105

$$V = \frac{1}{2} \sum_{i,j} \frac{q_i q_j}{4\pi \epsilon_0 r_{ij}} = \frac{1}{2} \sum_i q_i V_i$$

calculons V_0 avec pour dist^o une charge $q_i = +e$.

$$V_0 = \frac{e}{6\pi \epsilon_0} \left[\frac{-2}{a} + \frac{2}{2a} - \frac{2}{4a} + \frac{2}{6a} \dots \right]$$

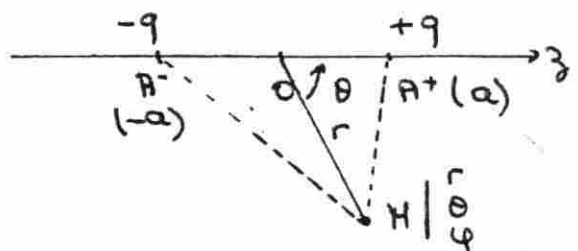
$$= -\frac{ze}{4\pi \epsilon_0} \left[\frac{1}{a} - \frac{1}{2a} + \frac{1}{4a} - \frac{1}{6a} \dots \right] = -\frac{ze}{4\pi \epsilon_0} \cdot \frac{1}{a} \sum_{n=0}^{\infty} \left(-\frac{1}{2} \right)^n$$

$$V_0 = -\frac{ze}{4\pi \epsilon_0 a} \frac{(-1/2)^{1/2}}{1 + \frac{1}{2}} \neq -\frac{ze}{2\pi \epsilon_0 a}$$

$$W = -\frac{1}{2} \frac{d\vec{r} \cdot \vec{A} e^2}{4\pi \epsilon_0 a} = 0 \quad W = -\frac{d\vec{r} \cdot \vec{A} e^2}{6\pi \epsilon_0 a}.$$

ES 015

(36)



$$V^+(H) = \frac{q}{4\pi \epsilon_0} \frac{1}{\|\vec{R}^+H\|} \quad V^-(H) = -\frac{q}{4\pi \epsilon_0} \frac{1}{\|\vec{R}^-H\|}$$

$$\|\vec{R}^+H\| = (r^2 + a^2 - 2ar \cos \theta)^{1/2}$$

$$\|\vec{R}^-H\| = (r^2 + a^2 + 2ar \cos \theta)^{1/2}$$

$$\begin{aligned} \frac{1}{\|\vec{R}^+H\|} - \frac{1}{\|\vec{R}^-H\|} &= \frac{1}{r} \left[\left(1 - \frac{2a \cos \theta}{r} - \frac{a^2}{r^2} \right)^{-1/2} - \left(1 + \frac{2a \cos \theta}{r} + \frac{a^2}{r^2} \right)^{-1/2} \right] \\ &= \frac{1}{r} \left(+ \frac{a \cos \theta}{r} + \frac{a \cos \theta}{r} \right) = + \frac{2a \cos \theta}{r^2} \end{aligned}$$

$$\Rightarrow V = \frac{q}{4\pi \epsilon_0 r^2} \frac{2a \cos \theta}{r^2} = \frac{\vec{P}_0 \cdot \vec{OH}}{4\pi \epsilon_0 \|\vec{OH}\|^3} \quad \vec{P}_0 = 2a \vec{u}_z$$

$$\vec{E} = -\vec{\text{grad}} V = \frac{q a \cos \theta}{4\pi \epsilon_0 r^3} \vec{u}_r + \frac{q q \sin \theta}{4\pi \epsilon_0 r^3} \vec{u}_\theta$$

$$\Rightarrow \vec{E} = \frac{1}{4\pi \epsilon_0 r^3} [3(\vec{P}_0 \cdot \vec{r}) \vec{r} - r^2 \vec{P}_0].$$

Surfaces équi-V:

$$r^2 = P_0 \cos \theta$$

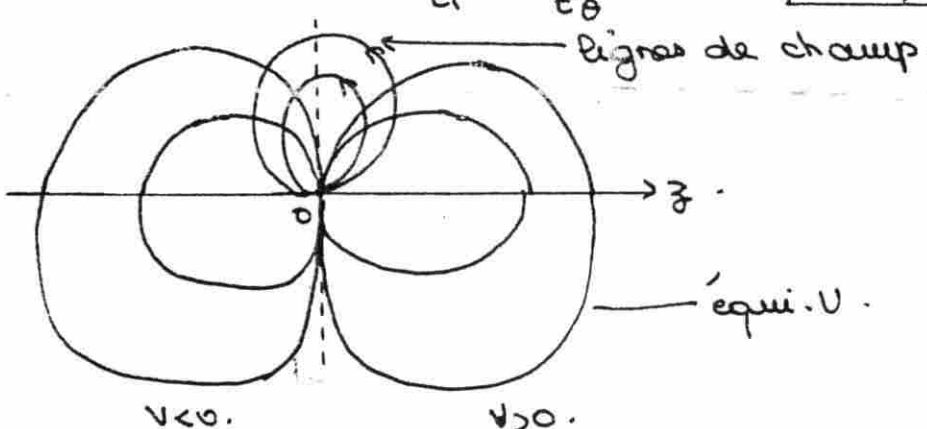
→ du signe de V.

Lignes de champ:

$$\frac{dr}{Er} = \frac{rd\theta}{E_\theta} = \mu \rightarrow$$

$$\theta = \mu \ln r^2$$

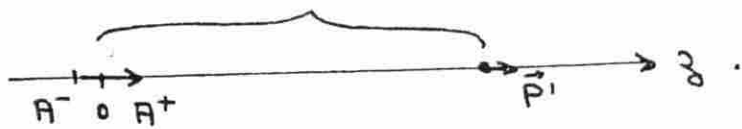
circles.



20

1^o-cas: parallèles.

(4)



$$\vec{f}_{P' \rightarrow P} = q \vec{E}(r) - q \vec{E}(r') \quad \left. \begin{array}{l} x^+ = r-a \\ x^- = r+a \end{array} \right\}$$

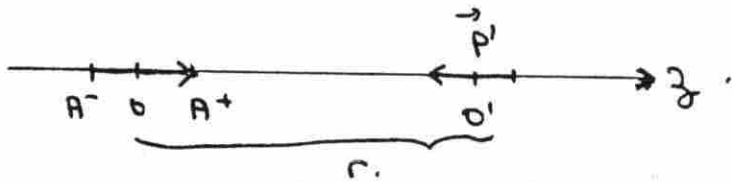
$$\vec{f}_{P' \rightarrow P} = \left(q \frac{2P' r^2}{4\pi \epsilon_0 r^5} - q \frac{2P' r'^2}{4\pi \epsilon_0 r'^5} \right) \vec{u}_z = q \cdot \frac{2P'}{4\pi \epsilon_0} \left(\frac{1}{(r-a)^3} - \frac{1}{(r+a)^3} \right) \vec{u}_z$$

$$\# \frac{2P' q}{4\pi \epsilon_0 r^3} \left((1 + \frac{3a}{r}) - (1 - \frac{3a}{r}) \right) \vec{u}_z$$

$\vec{f}_{P' \rightarrow P} = \frac{3P' q a}{\pi \epsilon_0 r^3} \vec{u}_z$.	soit	$\vec{f}_{P' \rightarrow P} = \frac{3}{2} \frac{P' P'}{\pi \epsilon_0 r^3} \vec{u}_z$.
---	------	---

force attractive

2^o-cas: antiparallèles.



$$\vec{f}_{P' \rightarrow P} = q (\vec{E}(r') - \vec{E}(r))$$

$$\vec{E}' = \frac{3(P' \cdot \vec{u}_{A^+}) \vec{u}_{A^+} - r'^2 \vec{P}'}{4\pi \epsilon_0 r'^5} = - \frac{3P' r'^2 + r'^2 P'}{4\pi \epsilon_0 r'^5}$$

$$\vec{E}' = \frac{-2P'}{4\pi \epsilon_0 r'^5}$$

$$\vec{E}' = \frac{-2P'}{4\pi \epsilon_0 r^5}$$

$\vec{f}_{P' \rightarrow P} = - \frac{3}{2} \frac{P' P'}{\pi \epsilon_0 r^3} \vec{u}_z$

force répulsive

MES 016

$$10) \quad \frac{d^2(rV)}{dr^2} = 0 \Rightarrow rV = ar + b \Rightarrow V = a + \frac{b}{r}$$

$$V \rightarrow 0 \text{ si } r \rightarrow \infty : \quad V = \frac{b}{r} \quad \text{potentiel coulombien}$$

$$\vec{E} = \frac{b}{r^2} \hat{r} \quad \text{Gauss} \Rightarrow b = \frac{q}{4\pi\epsilon_0 r} \Rightarrow V = \frac{q}{4\pi\epsilon_0 r}$$

$$20) \bullet \Delta V = -\Lambda \quad \forall r \neq 0 \Rightarrow \frac{d^2(rV)}{dr^2} = -\Lambda r$$

$$\Rightarrow V(r) = \frac{1}{6} r^2 \Lambda + d + \frac{\beta}{r} \quad V(r) \rightarrow 0 \text{ si } r \rightarrow \infty$$

une seule solution convient $\Lambda = 0$

alors on retrouve le potentiel coulombien.

$$\bullet \frac{1}{r} \frac{d^2(rV)}{dr^2} = \frac{V}{a^2} \Rightarrow \frac{d^2(rV)}{dr^2} = \frac{rV}{a^2}$$

$$\Rightarrow rV = \alpha e^{-r/a} + \beta e^{r/a} \quad V \rightarrow 0 \text{ si } r \rightarrow \infty \Rightarrow \beta = 0$$

et où

$$V(r) = \alpha \frac{e^{-r/a}}{r}$$

Potentiel de Yukawa.

R.-de-Gauss sur sphère $r \rightarrow 0$: $\alpha = q/4\pi\epsilon_0$

ES 019

$$\rho(r) = Ar^{-n}$$

$$10) \quad Q = 0 = Ze + \int_0^\infty Ar^{-n} 4\pi r^2 dr = Ze + 4\pi A \underbrace{\int_0^\infty r^{2-n} dr}_{\text{converge si } n > 3}.$$

$$\text{alors: } 0 = Ze + 4\pi A \frac{-1}{-3+n} \left[\frac{1}{r^{n-3}} \right]_0^\infty = Ze - \frac{4\pi A}{n-3} \left(-\frac{1}{a^{n-3}} \right).$$

$$\Rightarrow A = -\frac{Ze(n-3)}{4\pi} a^{n-3}$$

$$20) \quad (\text{MG}) \quad \text{div} \vec{E} = \frac{Q}{\epsilon_0} \Rightarrow \frac{1}{r^2} \frac{d}{dr} (r^2 E(r)) = -\frac{Ze(n-3)}{4\pi\epsilon_0} a^{n-3} \frac{1}{r^n}$$

$$\Rightarrow \frac{d}{dr} (r^2 E(r)) = \frac{A}{r^{n-2}} \Rightarrow r^2 E(r) = -\frac{A}{n-3} \frac{1}{r^{n-1}} + B$$

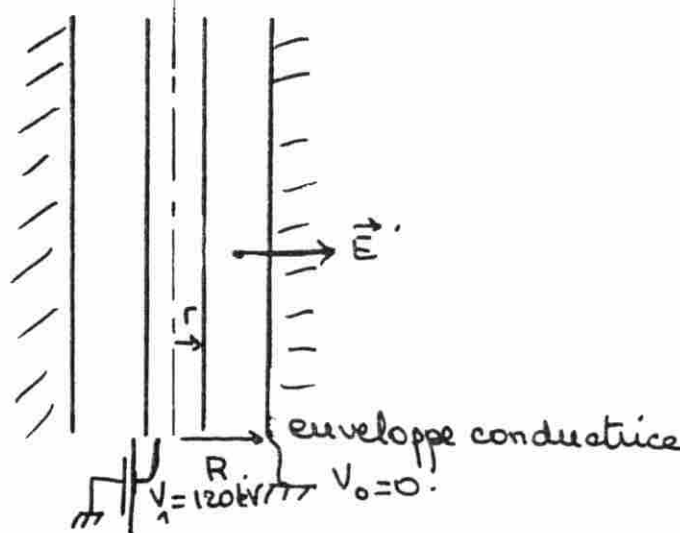
$$\Rightarrow E(r) = -\frac{A}{n-3} \frac{1}{r^{n-1}} + \frac{B}{r^2} \quad \text{on prend } B=0 \text{ ici}$$

$$\Rightarrow E(r) = \frac{Ze a^{n-3}}{4\pi\epsilon_0} \frac{1}{r^{n-1}}$$

$$\text{et} \quad V(r) = \frac{Ze a^{n-3}}{4\pi\epsilon_0 (n-2)} \frac{1}{r^{n-2}}$$

$$30) \quad \text{Si on a: } \rho(r) = K V(r)^{3/2} \Rightarrow r^n = r^{\frac{3(n-2)}{2}} \Rightarrow n=6$$

$$V(r) = \frac{Ze a^3}{16\pi\epsilon_0 r^4}$$



⑩ Th. de Gauss: $r < \rho < R: \quad E(\rho) = \frac{\sigma \rho}{2\pi R \epsilon_0} = A/\rho$

$$\int_R^R \vec{E} \cdot d\vec{l} = V_1 = A \rho \ln \frac{R}{r} \quad \text{d'où} \quad E(\rho) = \frac{V_1}{\rho \ln \frac{R}{r}} \frac{1}{\rho}$$

⑪ $E \leq E_0 = 8 \cdot 10^6 \text{ V.m}^{-1}$ (champ disruptif).

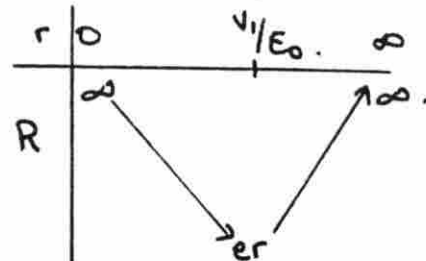
$$\Rightarrow \frac{V_1}{(\rho \ln \frac{R}{r})\rho} \leq \frac{V_1}{\rho \ln \frac{R}{r} \cdot r} \leq E_0 \Rightarrow \rho \ln \frac{R}{r} \geq \frac{V_1}{E_0 r}$$

$$\Rightarrow R \geq R_{\min} = r e^{V_1/E_0 r}$$

⑫ $R = r e^{V_1/E_0 r} \quad \frac{dR}{dr} = e^{V_1/E_0 r} \left(1 - \frac{V_1 r}{E_0 r^2}\right)$

$\Rightarrow R_{\min}$ pour

$$r = \frac{V_1}{E_0}$$



AN: $r = 1,5 \text{ cm}$.

$R_0 = 4 \text{ cm}$.

⑬ Volume d'espace compris entre les 2 conducteurs:

$$V = \pi (R^2 - r^2) \times h = \pi h r^2 (x^2 - 1)$$

et on a toujours : $R = r e^{V_1/E_0 r} \Rightarrow x = e^{V_1/E_0 r}$

$$\Rightarrow r = \frac{V_1}{E_0 h x} \quad \text{d'où} \quad V = \frac{\pi h V^2}{E^2} \frac{x^2 - 1}{(E_0 x)^2}$$

$F(x)$ est minimum si : $h x - (1 - \frac{1}{x^2}) = 0 \Rightarrow x = 2,218$

$$\textcircled{10} \quad \text{Par symétrie : } \vec{E}(0) = \vec{0}$$

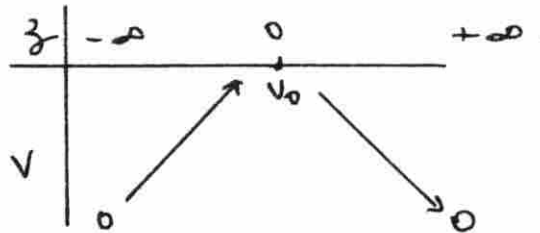
$$\textcircled{20} \quad v(z) = \frac{q}{\pi \epsilon_0 (z^2 + \frac{a^2}{2})^{1/2}}$$

$$\textcircled{30} \quad \vec{E}(k) \parallel \vec{u}_z \text{ pour } k \in \partial \mathbb{D}$$

$$\vec{E}(k) = \frac{4q \cos \alpha}{4\pi \epsilon_0 (z^2 + \frac{a^2}{2})} \vec{u}_z \quad \text{avec} \quad \cos \alpha = \frac{z}{(z^2 + \frac{a^2}{2})^{1/2}}$$

$$\Rightarrow \vec{E}(z) = \frac{q z}{\pi \epsilon_0 (z^2 + \frac{a^2}{2})^{3/2}} \vec{u}_z$$

(40)



$$V_0 = \frac{\sqrt{2} q}{\pi \epsilon_0 a} = v(0)$$

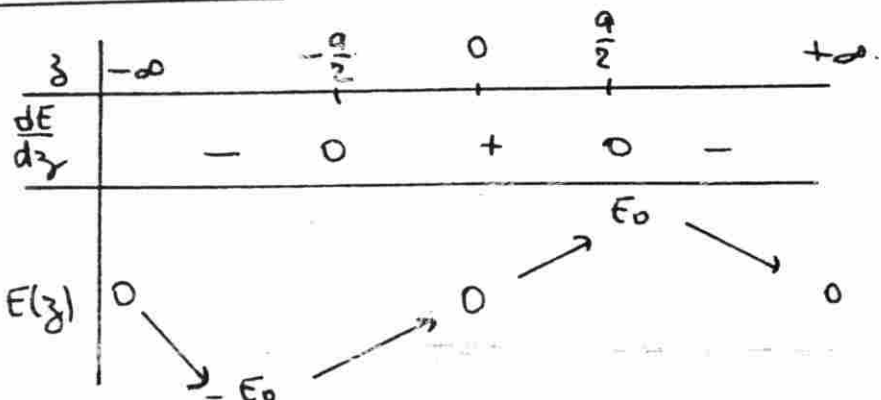
$$\frac{dV}{dz} = -\frac{q}{\pi \epsilon_0} \frac{z}{(z^2 + \frac{a^2}{2})^{3/2}}$$

$$\frac{d^2V}{dz^2} = -\frac{q}{\pi \epsilon_0} \left[\frac{(z^2 + \frac{a^2}{2})^{5/2} - z^2 (z^2 + \frac{a^2}{2})^{1/2}}{(z^2 + \frac{a^2}{2})^3} \right] = -\frac{q}{\pi \epsilon_0} \frac{\frac{a^2}{2} - 2z^2}{(z^2 + \frac{a^2}{2})^{5/2}}$$

points d'unflexion : $\boxed{z = \pm \frac{a}{2}}$

$$\frac{dE}{dz} = \frac{q}{\pi \epsilon_0} \frac{\frac{a^2}{2} - 2z^2}{(z^2 + \frac{a^2}{2})^{5/2}}$$

$$E_0 = E(\frac{a}{2}) = \frac{q}{2\pi \epsilon_0 a^2}$$



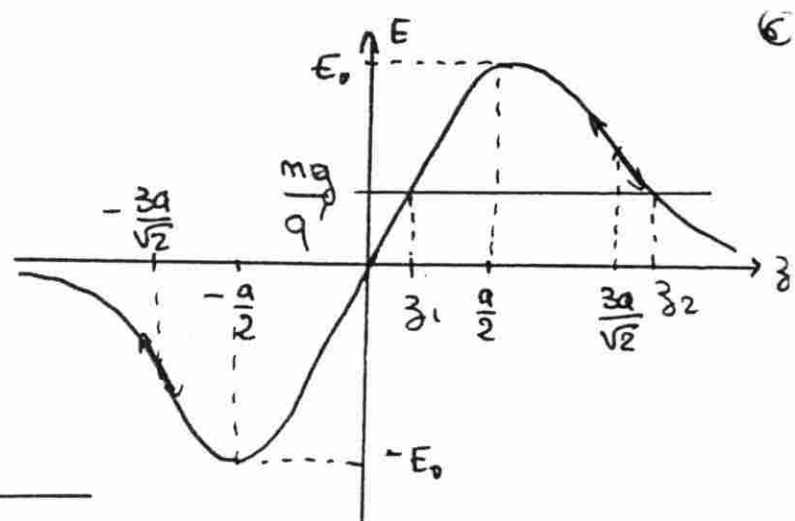
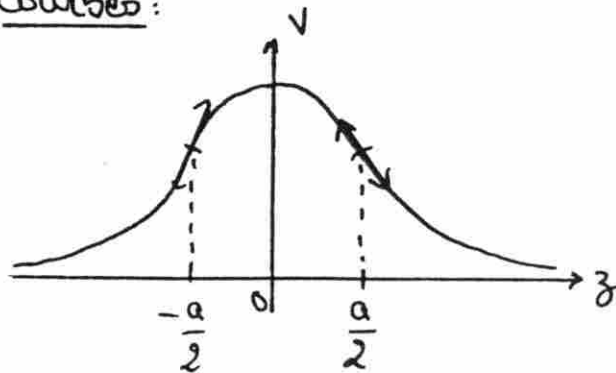
Points d'unflexion : $\frac{d^2E}{dz^2} = \frac{q}{4\epsilon_0} \left[\frac{5a^2}{2} \left(\frac{-z}{\lambda} \right)^{7/2} + \frac{-4z}{\lambda} \left(\frac{-z}{\lambda} \right)^{5/2} + \frac{10z^3}{\lambda} \left(\frac{-z}{\lambda} \right)^{7/2} \right]$

$$\frac{d^2E}{dz^2} = 0 \Leftrightarrow \frac{5a^2 z}{2} + 4z \left(\frac{a^2}{2} + z^2 \right) - 10z^3 = 0$$

$$\Leftrightarrow \begin{cases} z=0 \\ \text{ou} \\ 5a^2 + 4a^2 + 8z^2 - 10z^2 = 0 \end{cases} \Leftrightarrow$$

$$\boxed{\begin{array}{l} z=0 \\ \text{et} \\ z = \pm \frac{3a}{\sqrt{2}} \end{array}}$$

Combes:



④ Équilibre: $\dot{q}' E(z) - mg = 0$.

Je vérifie : $\frac{z_0}{(z_0^2 + \frac{a^2}{2})^{3/2}} = \frac{\pi \epsilon_0 mg}{q q'}$

graphiquement : pour déterminer z_0 , on trace $E(z)$ et la droite $y = \frac{mg}{q'}$.

Il ne peut y avoir équilibre que si $\frac{mg}{q'} < E_0$ pour $q' > 0$

(ou $\frac{mg}{q'} > -E_0$ pour $q' < 0$)

Condition d'existence de la position d'éq.:

$$|q'| > \frac{mg}{E_0} = \frac{2\pi \epsilon_0 m g a}{q}$$

Stabilité: $q' > 0$ pas ex.

\Rightarrow 2 positions d'éq.: $z_1 \in [0; \frac{a}{2}]$ $z_2 > \frac{a}{2}$

• pour z_1 : $\left(\frac{dE}{dz}\right) > 0 \Rightarrow \left(\frac{dv}{dz}\right) < 0$ équilibre stable pour $q' < 0$ instable pour $q' > 0$.

• pour z_2 : $\frac{dv}{dz^2} > 0 \Rightarrow$ équilibre instable stable pour $q' < 0$. pour $q' > 0$.

⑤ Petites oscillations : prenons $q' > 0$.

Eq. stable $z = z_2$. Pfd à q' : $m \ddot{z} = -mg + q'E(z)$ avec $z = z_2 + \varepsilon$

$$\epsilon(\beta) = \epsilon(\beta_2) + \epsilon \left(\frac{d\epsilon}{d\beta} \right)_{\beta_2}$$

$$\Rightarrow m\dot{\epsilon} - q' \left(\frac{d\epsilon}{d\beta} \right)_{\beta_2} \epsilon = 0 .$$

$$T = 2\pi \sqrt{\frac{-m}{q' \left(\frac{d\epsilon}{d\beta} \right)_{\beta_2}}} \approx .$$

ES 021

Preliminaria:

à l'équilibre: $\vec{grad} P = \frac{\partial \vec{P}}{\partial r} = m(r) q \vec{E}(r) = -m(r) q \frac{\partial V(r)}{\partial r} \vec{ur}$

$$\Rightarrow kT \left(\frac{dn}{dr} \right) + q \left(\frac{\partial n}{\partial r} \right) m(r) = 0$$

$$\Rightarrow \frac{dn}{n} = - \frac{q}{kT} dr \Rightarrow \ln n = - \frac{qV}{kT} + \ln n_0$$

au droite potentiel nul pour distribution non perturbée $n=n_0$

$$\Rightarrow n = n_0 e^{-\frac{qV}{kT}}$$

a) $\rho(r) = -e n_e(r) + e n_h(r) = e n_0 e^{-\frac{ev}{kT}} - e n_0 e^{\frac{ev}{kT}}$

$$\Rightarrow \rho(r) = -2e n_0 \sinh \left(\frac{ev}{kT} \right)$$

Pour $ev \ll kT$:

$$\rho(r) \approx -2 \frac{e^2 n_0 v(r)}{kT}$$

b) Eq. de Poisson: $\Delta V = -\frac{\rho}{\epsilon_0}$ seit: $\frac{1}{r} \frac{\partial^2 (rv)}{\partial r^2} = -\frac{e n_0 e^2}{\epsilon_0 k T} V(r)$.

$$\Rightarrow \frac{\partial^2 (rv(r))}{\partial r^2} + \frac{e n_0 e^2}{\epsilon_0 k T} (rv(r)) = 0 .$$

on pose $d_D = \sqrt{\frac{\epsilon_0 k T}{2 \pi e^2}}$

alors: $rV(r) = A e^{-r/d_D} + B e^{r/d_D}$.

$$\Rightarrow V(r) = \frac{A}{r} e^{-r/d_D} + \frac{B}{r} e^{r/d_D}$$

AN: ionosphère : $d_D = 0,81 \text{ mm}$.

plasma de synthèse : $d_D = 7,4 \mu\text{m}$.

C) Si $r \rightarrow \infty$: $V \rightarrow 0$ donc $B = 0$.

Si $r \rightarrow 0$; ($r \ll d_D$) on retrouve le potentiel coulombien de l'ion

$$\downarrow \rightarrow \frac{e}{4\pi\epsilon_0 r} \Rightarrow A = \frac{e}{4\pi\epsilon_0}$$

D'où $\boxed{V(r) = \frac{e}{4\pi\epsilon_0 r} e^{-r/d_D}}$

$$\boxed{\vec{E}(r) = - \left(\frac{\partial V}{\partial r} \right) \vec{u}_r = \frac{e}{4\pi\epsilon_0 r^2} \left(1 + \frac{r}{d_D} \right) e^{-r/d_D} \vec{u}_r} \quad (20)$$

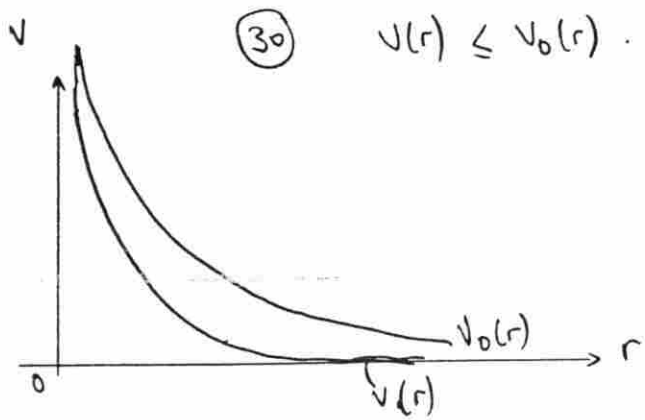
Th. de Gauss : $Q(r) = \epsilon_0 \oint_S \vec{E} \cdot \vec{ds} = \frac{e\epsilon_0}{4\pi\epsilon_0 r^2} 4\pi r^2 \left(1 + \frac{r}{d_D} \right) e^{-r/d_D}$.

$$\Rightarrow \boxed{Q(r) = e \left(1 + \frac{r}{d_D} \right) e^{-r/d_D}}$$

$r \rightarrow \infty$: $\frac{r}{d_D} \gg 1$ $Q(r) \rightarrow 0$ neutralité électrique du plasma.

$r \rightarrow 0$: $\frac{r}{d_D} \ll 1$ $Q(r) \rightarrow e$ ion seul.

d_D représente l'ordre de grandeur de la distance sur laquelle la densité ponctuelle de charge est perturbée autour de l'ion.



$$(30) \quad V(r) \leq V_0(r).$$

Pour de l'ion central, $V(r)$ décroît bcp plus vite que $V_0(r)$: la charge opposée à celle de l'ion central, qui l'entoure, fait écran.

ES 022

76

$$\nabla \text{ vérifie : } \begin{cases} \Delta V = 0 \\ V(0,y) = V(a,y) = 0 \\ V(x,0) = V_0. \end{cases}$$

$$\frac{\partial^2 V}{\partial x^2} + \frac{\partial^2 V}{\partial y^2} = 0 \quad V = g(x)g(y)$$

V ne dépend pas de y par invariance de la distance selon y .

$$\textcircled{*} \quad g''(x)g(y) + g(x)g''(y) = 0.$$

$$\Rightarrow g''(x) + \underbrace{\frac{g''(y_0)}{g(y_0)}}_{K} g(x) = 0.$$

$$1^{\text{er}} \text{ cas: } K < 0 \quad g(x) = \alpha e^{Kx} + \beta e^{-Kx}$$

ne satisfait pas aux CL.

$$2^{\text{e}} \text{ cas: } K = 0 \quad g(x) = \alpha x + \beta \quad \text{idem}$$

$$3^{\text{e}} \text{ cas: } K > 0. \quad g(x) = \alpha \cos Kx + \beta \sin Kx$$

$$V(0,y) = 0 \quad \forall y \Rightarrow g(0) = 0 = \alpha$$

$$V(a,y) = 0 \quad \forall y \Rightarrow g(a) = 0 = \beta \sin Ka.$$

$$\Rightarrow Ka = n\pi \quad n \in \mathbb{N}.$$

$$\Rightarrow K = \frac{n\pi}{a}, n \in \mathbb{N}^*.$$

$$\text{D'où } g(x) = f_0 \sin \frac{n\pi x}{a} (n \in \mathbb{N}).$$

$$\textcircled{*} \quad g''(x)g(y) + g(x)g''(y) = -\frac{m\pi^2}{a^2} g(y) + g''(y) = 0.$$

$$\Rightarrow g(y) = \alpha e^{-\frac{m\pi y}{a}} + \mu e^{+\frac{m\pi y}{a}}$$

$$\left. \begin{array}{l} y \rightarrow \infty \\ V \rightarrow 0 \end{array} \right\} \Rightarrow g(y) \rightarrow 0 \quad \text{d'où } \mu = 0.$$

⇒ solutions pour n donné :

$$V_m(x,y) = f_n \sin \frac{n\pi x}{a} e^{-\frac{m\pi y}{a}}.$$

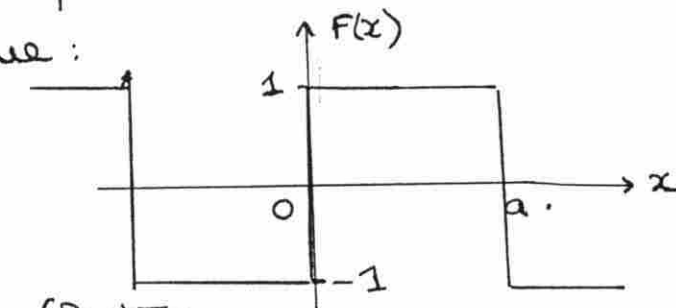
Ces solutions ne satisfont pas à la condition $V(x,0) = V_0 \forall x$.

④ On envisage la superposition des V_n :

$$V(x,y) = \sum_{n=1}^{\infty} f_n \sin \left(\frac{n\pi x}{a} \right) e^{-\frac{n\pi y}{a}}$$

$$V(x,0) = \sum_{n=1}^{\infty} f_n \sin \left(\frac{n\pi x}{a} \right) = V_0 \text{ pour } 0 < x < a.$$

Si on écrit la décomposition en série de Fourier de la fonction périodique :



$$F(x) = \frac{4}{\pi} \sum_{n=1}^{\infty} \frac{1}{2p+1} \sin \left((2p+1)\frac{\pi x}{a} \right)$$

On identifie alors f_n à $\frac{4}{\pi} V_0 \frac{1}{2p+1}$ pour $n = 2p+1$.

D'où

$$V(x,y) = \frac{4V_0}{\pi} \sum_{n=1}^{\infty} \frac{1}{2p+1} \sin \left((2p+1)\frac{\pi x}{a} \right) e^{-\frac{(2p+1)\pi y}{a}}.$$